

بررسی تأثیر عدم فعالیت آنزیم RON1 در گیاهان موتانت *ron1-1* در واکنش به تنش القا

شدہ توسط هورمونها در آراییدوپسیس

سارا رویان^۱، رضا شیرزادیان خرم‌آباد^{۱*}، عاطفه صبوری^۲ و محسن زواره^۲

^۱رشت، دانشگاه گیلان، دانشکده علوم کشاورزی، گروه بیوتکنولوژی کشاورزی

^۲رشت، دانشگاه گیلان، دانشکده علوم کشاورزی، گروه زراعت و اصلاح نباتات

تاریخ پذیرش: ۹۴/۱۱/۱۹ تاریخ دریافت: ۹۴/۰۷/۲۹

چکیده

گیاهان با توجه به نوع تنش میزان بسیاری از هورمونها را تغییر می‌دهند. هورمونهای گیاهی اسید آبسیزیک (ABA)، اکسین (IAA) و اتیلن (Ethylene) بر طیف گسترده‌ای از فعالیت‌های مهم گیاه مؤثر هستند. از آنجایی که ژن *RON1* بر مسیر بیوسنتر یا سیگنالینگ هورمونهای ABA، C_2H_4 و IAA مؤثر می‌باشد، از این‌رو تأثیر تغییر فعالیت ژن *RON1* در گیاهچه‌های *ron1-1* بر برخی خصوصیات مورفولوژیکی در واکنش به غلظتها مختلف این هورمونها در محیط *in vitro* مورد بررسی قرار گرفت. طول ریشه اصلی، تعداد ریشه جانبی، تعداد برگ و میزان جوانهزنی در گیاهچه‌های جهش‌یافته *ron1-1* در واکنش به غلظتها مختلف ABA در مقایسه با گیاهچه‌های مادری تفاوت معنی‌داری نشان دادند. همچنین طول ریشه، طول هیپوکوتیل و تعداد ریشه جانبی در گیاهچه‌های جهش‌یافته *ron1-1* در واکنش به غلظتها مختلف IAA در مقایسه با گیاهچه‌های مادری دارای تفاوت معنی‌داری بودند. بررسی رگبرگ‌ها در کوتیلدون‌ها و برگ سوم گیاهچه‌ها نشان داد که موتانت‌ها دارای شبکه‌های رگبرگی ثانویه باز بوده، در حالی که ژنتیپ *Ler-0* دارای شبکه رگبرگی پیوسته می‌باشد. گیاهچه‌ها در واکنش به غلظتها مختلف ACC (پیش‌ماده اتیلن) نیز از لحاظ طول ریشه، طول هیپوکوتیل و قطر ریشه تفاوت معنی‌داری را با گیاهچه‌های مادری نشان دادند. بنابراین جهش *ron1-1* و تغییر میزان فعالیت آنزیم *RON1* موجب تغییر خصوصیات گیاهچه‌های موتانت در مقایسه با گیاهان مادری گردید. جهش در ژن *RON1* باعث تجمع آدنوزین ۳ و ۵ بیوفسفات (PAP) و احتمالاً اینوزیتول-۱-او۴-تری فسفات (IP3) در سلول‌های گیاهان موتانت شده که این تجمع باعث توقف فعالیت RON1 و تأثیر بر خصوصیات مرفولوژیکی مرتبط در گیاهچه‌های موتانت شده است.

واژه‌های کلیدی: آراییدوپسیس، ACC، ABA، IAA، تنش هورمونی، *RON1/FRY1*

* نویسنده مسئول، تلفن: ۰۱۳-۳۳۶۹۰۴۵۱، پست الکترونیکی: R.shirzadian@gmail.com

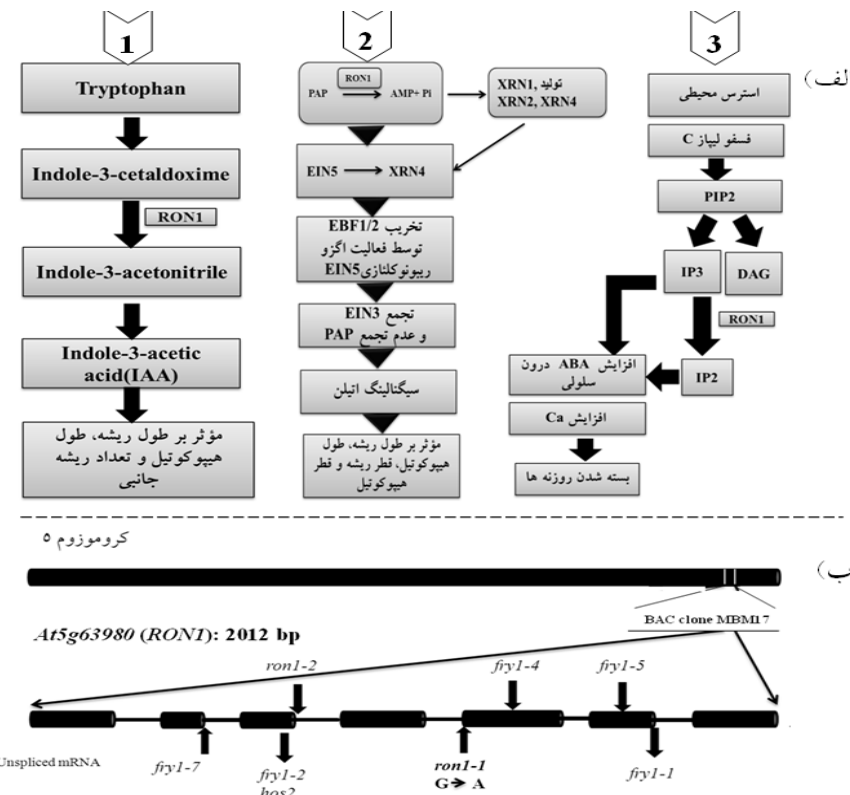
مقدمه

برای حصول اطمینان از بقای گیاه تولید می‌شود (۱). هورمون گیاهی اسید آبسیزیک (ABA) بر طیف گسترده ای از فعالیت‌های مهم در رشد و توسعه گیاه از قبیل خواب بذر، رشد و توسعه ریشه و ساقه، تعرق و تحمل به تنش مؤثر می‌باشد (۲). در گیاه توسعه ریشه جانبی با افزایش میزان ABA مهار می‌شود، این اتفاق بلافضله بعد از ظهرور

گیاهان در طول دوره رشد و نمو خود به کرات در برابر تنش‌های محیطی قرار می‌گیرند (۴). با توجه به نوع تنش و محرك محیطی، مجموعه خاصی از ترکیبات و هورمونهای گیاهی از قبیل اسید جاسمونیک (Jasmonic acid)، اسید Abscisic (Abscisinic acid)، اسید آبسیزیک (Salicylic acid)، اتیلن (Ethylene) و اکسین (Auxin) در گیاهان

عنوان تنظیم کننده سیگنالینگ تنش‌های غیر زنده عمل می‌کند (۵) و (شکل ۱-الف). پس از تیمار گیاهان موتانت *fry1-1* با ABA نشان داده شد که در گیاهان جهش یافته به *fry1-1* میزان IP3 (Inositol 1, 4, 5 triphosphate) نسبت به گیاهان تیپ و حشی افزایش یافته است (۲۳). موتانت‌های *fry1* دارای حساسیت بیشتری به ABA در پاسخ به تنش القا شده می‌باشد (۲۳).

پریموریای ریشه جانبی و قبل از فعل شدن مریستم ریشه-جانبی رخ می‌دهد (۶). تحت شرایط طبیعی رشد، محتوای ABA در گیاهان بسیار کم است. در واکنش به تنش غیر زیستی مقدار ABA در سلول گیاهی افزایش می‌یابد (۵). ژن (ROTUNDAI/FIERYI) *RON1/FRY1* در مسیر پاسخ به تنش‌های واپسیه به ABA و غیر واپسیه به ABA عنوان یک تنظیم‌کننده منفی عمل می‌کند (۲۳). همچنین به



شکل ۱-الف: مدل ارائه شده در مورد نقش فعالیت *RON1* در ارتباط با هورمونهای (۱) IAA (۲) C_2H_4 و (۳) ABA در ارتباط با هورمونهای *ron1-1* منجر به اختلال در عملکرد سه هورمون ذکر شده می‌شود (۲۰، ۲۱، ۲۰، ۱۷، ۱۴). ب- ساختار ژن *RON1* روی کروموزوم شماره ۵ آرایید پسیس تالیانا، محل جهش *ron1-1* در ژن *RON1* و برخی دیگر از موتانت‌های آلیک با *ron1-1* نشان داده شده است. جهش *ron1-1* در مژ اگزون ۵ و اینtron ۵ مربوطه رخداده است (۵، ۲۳، ۱۷).

از جمله اکسین نقش مهمی در تعدیل رشد گیاه و همچنین محافظت در برابر تنش‌ها دارند (۳). الگوی رگبرگ‌ها، تشکیل ریشه‌جانبی، ریشه مویین، ساقه، ریشه و چیرگی انتهایی فرایندهایی شناخته شده هستند که توسط هورمون IAA تنظیم می‌شوند (۱۷). پیام رسانی اکسین توسط گیرنده‌های اکسین همانند گروه TRANSPORT INHIBITOR RESPONSE 1 (TIR1)، AUXIN

از دیگر هورمونهای مؤثر بر رشد و نمو گیاهان، اکسین، ایندول-۳-استیک اسید (IAA) می‌باشد (۱۲). ریشه جانبی یا فرعی معمولاً در ناحیه ای بالاتر از ناحیه طویل شدن تارهای کشنده یافت می‌شود و از گروههای کوچکی از سلول‌های دایره محیطیه منشأ می‌گیرند. هورمون IAA نقش مهمی در تشکیل و طویل شدن ریشه‌جانبی و سازماندهی و ایجاد ساختار نهایی ریشه دارد (۱۵ و ۸). هورمونهای گیاهی

تبدیل و در مرحله بعد با فعالیت آنزیم ACC oxidase در گیاه به اتیلن تبدیل می‌شود. تغییرات مورفولوژیکی گیاهان (Triple Response) تیمار شده با ACC را تغییرات سه‌گانه (Triple Response) می‌نامند (۲۱). علائم واکنش سه گانه شامل کوتاهی و ضخیم شدن ریشه، کوتاهی هیپوکوتیل و چرخش رأس هیپوکوتیل می‌باشد (۹). ژن *RON1* به نحوی با مسیر اتیلن ژن *EIN5* (ETHYLENE-INSENSITIVE 5) که یکی از اجزای مسیر سیگنالینگ اتیلن می‌باشد و محصول این ژن اگزوربیونوکلئازی به نام XRN4 می‌باشد و برای بیان ژن‌های مرتبط با اتیلن لازم می‌باشد (۹). با فعالیت EBF1/EBF2 (ETHYLENE BINDING F BOX PROTEIN) شده و در نتیجه عليه فعالیت باز خور منفی *EIN3* عمل کرده و در نهایت موجب تجمع *EIN3* و سیگنالینگ اتیلن می‌شود (۹). در صورتی که جهش در ژن *RON1* مانع سنتز اگزوربیونوکلئازها می‌شود و PAP در سلول تجمع می‌یابد و سیگنالینگ اتیلن دچار اختلال می‌شود.

ژن *RON1/FRY1* شامل ۷ اگزون بوده و در انتهای بازوی کوچک کروموزوم شماره ۵ آراییدوپسیس قراردارد. جهش *ron1-1* در این ژن در مرز اگزون ۵ و اینترون ۴ رخداده که در آن نوکلئوتید G به A تغییر یافته است (شکل ۱-ب) (۱۷). ژن *RON1/FRY1* دارای دو فعالیت آنزیمی شامل اینوزیتول پلی فسفات-۱-فسفاتاز و ۵-۲-۳ بی فسفات نوکلئوتیداز در سلول‌های گیاهی می‌باشد. فعالیت آنزیمی اینوزیتول پلی فسفات-۱-فسفاتاز باعث تجزیه مولکول اینوزیتول-۱-او۴ و تری فسفات(IP3) می‌شود (۵). تحت تنش محیطی آنزیم فسفولیپاز C فعال می‌شود و موجب افزایش مقدار پیامبر ثانویه IP3 می‌گردد (۲۲) (شکل ۱-ب). گیاهان موتانت *ron1-1* که دارای یک موتاسیون در ژن *RON1/FRY1* هستند نیز دارای تفاوت‌های مورفولوژیکی قابل توجهی با ژنوتیپ مادری خود بوده که می‌توان به طول گل آذین کوتاهتر و ایجاد گل آذین‌های

SIGNALING F-BOX (AFB) انجام می‌شود، این گیرنده‌ها هدف پروتئین‌های AUX/IAA هستند (۳). پروتئین‌های TIR1/AFB بعنوان گیرنده‌های اصلی اکسین عمل می‌کند و در بروز ژن وابسته به اکسین نقش دارد. مطالعات انجام شده نشان می‌دهد که این امکان وجود دارد که در برخی از گیاهان موتانت‌ها مانند *fry1-1* و *AFB1* ۴ برونوشت برداری ژن‌های خانواده *TIR1* و یا *AFB2* به شدت کاهش یافته باشد. در موتانت‌های *fry1* کاهش حساسیت به اکسین در القای ریشه جانبی بصورت کاهش القای ریشه جانبی دیده می‌شود (۵). کاهش بیان ژن گزارشگر اکسین *DR5-GUS* در موتانت‌های *ron1-1* می‌تواند حاکی از ناتوانی در درک اکسین و غلظت کم اکسین باشد (۱۷). در پژوهشی نشان داده شد که جهش *ron1-1* موجب تغییر در سطح تعداد زیادی از متابولیت گیاهی از جمله مایواینوزیتول و ایندول-۳-استونیتریل بعنوان پیش‌ساز اکسین شده است (۱۷). ژن *RON1/FRY1* توسعه ریشه جانبی را از طریق فعالیت آدنوزین ۳ و ۵ بیوفسفات (PAP) تنظیم می‌کند که یک مهارکننده قوی اگزوربیونوکلئازی (XRN) است (۵). در موتانت‌هایی که در سنتز اکسین اختلال دارند اختلاف قابل توجهی در زمینه تشکیل ریشه‌جانبی، طول ریشه موئی، طول ساقه و عدم اتصال رگ برگ‌ها مشاهده می‌شوند (۱۶).

اتیلن (C_2H_4) از جمله هورمونهای مهم گیاهی محسوب می‌شود که در بسیاری از فرایندهای فیزیولوژیکی در گیاهان دخالت دارد (۲۱). اتیلن توسط فرایندهایی مثل زخم، کمبود اکسیژن و سرما در گیاهان تولید می‌شود (۲۰) و جوانه زنی بذرها را در حالت خواب و غیر خواب تحریک می‌کند (۲). در مسیر بیوشیمیابی سنتز اتیلن، ACC (1-amino cyclopropane 1-carboxylic acid) ماده محسوب می‌شود (۲۱). سنتز این پیش ماده مرحله محدود کننده متابولیکی تولید اتیلن در بافت گیاهی می‌باشد. در مسیر بیوسنتز اتیلن، متیونین تحت تأثیر آنزیم‌های ACC (S-آدنوزین متیونین) و SAM به

اینکه *ron1-1* در زمینه ژنومی گیاه آرابیدوپسیس تالیانا *Ler-0* رخ داده است می‌تواند جالب باشد.

مواد و روشها

این آزمایش در سال ۱۳۹۳ در آزمایشگاه بیوتکنولوژی دانشکده علوم کشاورزی دانشگاه گیلان انجام شد. برای استریل کردن بذرهای مادری آرابیدوپسیس تالیانا *Ler-0* و موتابنت *ron1-1* (اهدایی از دانشگاه Functional Adelaide Genomics Center استرالیا) از محلول هیپوکلریدسدیم٪۱ به مدت ۱۰ دقیقه استفاده شد، سپس بذرها به مدت ده دقیقه در آب مقطر استریل ۳ بار شسته شو داده شدند. برای بررسی تأثیر ABA بر برخی خصوصیات مورفولوژیکی شامل طول ریشه، تعداد ریشه جانبی، تعداد بذرهای جوانه زده و تعداد برگ از ABA (ساخت شرکت SERVA با وزن مولکولی ۲۶۴/۳) استفاده شد. در این بررسی ابتدا بذرهای هر یک از ژنوتیپ‌ها در محیط غذایی MS حاوی غلظت‌های مختلف ABA (صفر، ۰/۵، ۱، ۲ میکرومول) در سه تکرار کشت و به مدت ۱۴ روز در ژرمنیاتور نگهداری شدند. برای بررسی تأثیر IAA برخی خصوصیات مورفولوژیکی شامل طول ریشه، تعداد ریشه جانبی، طول SIGMA-ALDRICH هیپوکوتیل از IAA (ساخت شرکت با وزن مولکولی ۱۷۵/۲) استفاده شد. ابتدا بذرها به مدت چهار روز در محیط کشت MS فاقد هورمون IAA کشت شدند و بعد در روز چهارم گیاهچه‌های هماندازه از هر ژنوتیپ انتخاب و در محیط کشت MS حاوی غلظت‌های مختلف هورمون IAA (صفر، ۰/۵ و ۱۰ میکرومول) درسه تکرار کشت و خصوصیات مورفولوژیکی فوق در روز هشتم اندازه‌گیری شدند. برای انجام آزمون تغییرات سه‌گانه از ACC (ساخت شرکت SIGMA-ALDRICH با وزن مولکولی ۱۰۱/۱) استفاده شد. بذرها به مدت پنج روز در محیط کشت MS حاوی غلظت‌های مختلف هورمون ACC (صفر، ۱ و ۱۰ میکرومول) در سه تکرار و تاریکی مطلق کشت و خصوصیات مورفولوژیکی مورد نظر شامل

ثانویه بیشتر و همچنین تأخیر در گلدهی اشاره کرد (۱۷). موتابسیون نقطه‌ای *ron1-1* منجر به عدم سنتز پروتئین FRY1 شده است. در حالیکه در گیاهان *fry1-1* پروتئین *fry1-1* در سلول شناسایی و گزارش شده است (۵ و ۱۷). همانطور که در مورد موتابنت های *fry1-1* و *fry1-4* ملاحظه گردید، به دلیل مالتی فانکشنال بودن ژن *RON1/FRY1* و با توجه به اینکه در کدام اگزون ژن جهش رخ دهد واکنش به هورمونها در موتابنت‌های مختلف این ژن با توجه به جهش ویژه ای که در ژنوتیپ موتابنت *ron1-1* به وجود آمده و به دلیل نقشی که ژن *RON1/FRY1* در بیوستر هورمونهای اکسین، اتین و اسید آبسیزیک دارد تأثیر تغییر فعالیت ژن در گیاهچه‌های موتابنت *ron1-1* بر برخی خصوصیات مورفولوژیکی شامل طول ریشه‌اصلی، تعداد ریشه‌جانبی، طول هیپوکوتیل و تعداد برگ در ژنوتیپ موتابنت و جدید *ron1-1* در واکنش به غلظت‌های مختلف هورمونی در *RON1* *in vitro* مورد بررسی قرار گرفت و با خصوصیات مشابه در گیاه مادری آرابیدوپسیس تالیانا (*Ler-0*) مقایسه شد. آزمایش‌هایی که توسط Chen و همکاران (۲۰۱۰) ارائه شده روی یکی از موتابنت‌های ژن T-DNA *FRY1* بنام *fry1-4* که حاوی یک قطعه *Col-0* در والد (SALK_020882) است انجام شده است که در واقع این موتابسیون هم از نظر مکان جهش و هم از نظر زمینه ژنومی با *ron1-1* متفاوت است. در مقاله Robles و همکاران (۲۰۰۹) فقط این موتابسیون شناسایی و فقط به بررسی تأثیر این موتابسیون بر بعضی خصوصیات مرفولوژیکی در مقایسه با ژنوتیپ مادری در شرایط نرم‌مال پرداخته شده است. در این مطالعه گیاهچه‌های موتابنت *ron1-1* در شرایط هورمونی IAA، ACC و ABA بررسی شده و تغییرات فتوتیپی ناشی از سطوح مختلف این هورمونها گزارش شده است که در نوع خود یک بررسی جدید محسوب می‌شود. نتایج این بررسی با توجه به

ABA بر تعداد بذرهای جوانه‌زده نشان می‌دهد که ژنوتیپ‌ها دارای تفاوت معنی داری در این زمینه می‌باشند (جدول ۱). به طوری که میزان جوانه‌زنی بذرهای موتانت *ron1-1* در مقایسه با بذرهای ژنوتیپ مادری *Ler-0* در غلظت‌های مختلف ABA از کاهش قابل توجهی برخوردار است (نمودار ۱-الف). میزان جوانه‌زنی بذرها در موتانت *ron1-1* در شرایط نرمال و پس از ۴ روز به ۴۰ درصد رسید، در حالی که ژنوتیپ مادری در شرایط برابر دارای ۸۰ درصد جوانه‌زنی (۲ برابر) بود. با افزایش غلظت ABA به نیم میکرومول در ژنوتیپ مادری درصد جوانه‌زنی به ۷۸ درصد و در ژنوتیپ موتانت به ۳۰ درصد رسید. یعنی با افزایش غلظت ABA از صفر میکرومول به نیم میکرومول در ژنوتیپ *ron1-1* درصد جوانه‌زنی نسبت به شرایط نرمال ۲۵ درصد کاهش یافته، در حالی که این کاهش جوانه‌زنی در ژنوتیپ *Ler-0* فقط در حدود ۲/۵ درصد بود. با افزایش غلظت به ۱ میکرومول، جوانه‌زنی در ژنوتیپ *ron1-1* به میزان ۳۷ درصد و در غلظت ۲ میکرومول به میزان ۶۲ درصد کاهش یافت. در حالی که در ژنوتیپ *ron1-1* این مقدار کاهش برای هر دو غلظت ۵۰ درصد بود. اثر متقابل ژنوتیپ و غلظت‌های مختلف ABA بر صفت تعداد بذرهای جوانه‌زده غیر معنی دار بود (جدول ۱). بیشترین تعداد بذرهای جوانه‌زده در ژنوتیپ *ron1-1* در غلظت صفر میکرومول (شاهد) و کمترین تعداد در بذرهای موتانت *ron1-1* در غلظت ۲ میکرومول مشاهده شد. بنابراین وقوع موتاسیون در ژن *RON1* موجب کاهش قابل توجه میزان جوانه‌زنی در بذرهای موتانت *ron1-1* در واکنش به غلظت‌های مختلف ABA شده است.

بر اساس نتایج بدست آمده از بررسی صفت طول ریشه اصلی، تعداد ریشه‌جانبی و تعداد برگ ژنوتیپ‌ها از نظر صفت طول ریشه دارای تفاوت معنی داری باهم می‌باشند (جدول ۱). طول ریشه اصلی، تعداد ریشه‌جانبی و تعداد برگ در گیاهچه‌های موتانت *ron1-1* در واکنش به غلظت‌های مختلف ABA نسبت به گیاهچه‌های مادری *Ler-0*

طول ریشه و طول هیپوکوتیل ، قطر ریشه در روز پنجم توسط نرم‌افزار IMAGE J_{1, 4, 3, 67} اندازه‌گیری شدند. پتری‌های حاوی بذرها در ژرمنیاتور(Growth chamber) ساخت کمپانی WEISS TECHNIK آلمان مدل ZPR-2000 (در دمای ۲۲±۱ درجه سانتی‌گراد و رطوبت نسبی ۷۵٪ و شرایط نوری ۱۶ ساعت روشنایی و ۸ ساعت تاریکی قرار-گرفتند. آزمایش‌های فوق به صورت فاکتوریل با فاکتور ژنوتیپ (در دو سطح) و فاکتور تنظیم‌کننده‌های رشد (در سطوح مختلف) در قالب طرح پایه کاملاً تصادفی با ۳ تکرار انجام شد، و در نهایت تجزیه‌های آماری باستفاده از نرم افزار SAS 9.1 انجام و از روش مقایسه میانگین LSD مجهت مقایسه میانگین بهره گرفته شد و نمودارهای مربوط با استفاده از نرم‌افزار EXCEL 2007 ترسیم شد. برای بررسی وضعیت رگبرگ‌ها از روش چن و همکاران (۱۹۹۹) با کمی تغییرات استفاده شد. در این روش ابتدا نمونه‌های مادری و موتانت‌ها به مدت یک ساعت در اسید استیک و اتانول ۹۵ درصد به نسبت ۱:۳ فیکس می‌شوند. برای حذف رنگدانه‌ها از برگ، نمونه‌ها به ترتیب در اتانول ۷۰ درصد به مدت ۳۰ دقیقه و بعد در اتانول ۱۰۰ درصد در طول شب نگهداری و سپس در هیدروکسید سدیم ۱۰ دقیقه قرار گرفتند. در ادامه نمونه‌های برگی را در محلول رنگی (Merck) Safranin-o یک درصد به مدت ۲-۱ دقیقه قرار داده تا نمونه‌های برگی رنگ‌آمیزی شوند. سپس برای مشاهده رگبرگ‌ها ضروری است رنگ از دیگر قسمت‌ها حذف شود. برای این کار به ترتیب نمونه‌ها در اتانول ۹۵٪ و بعد در آب قرار می‌گیرند. سپس نمونه‌ها روی لام و توسط گلیسروول به آرامی باز شده و توسط روغن امولسیون تیپ A (ساخت شرکت Cangille) روی لام فیکس و زیر میکروسکوب تصویربرداری شدند (۵).

نتایج

تجزیه داده‌ای بدست آمده از بررسی تأثیر غلظت‌های مختلف

کاهش معنی داری داشته است (جدول ۱، نمودار ۱- ب، ج، د شکل ۲).

جدول ۱- تجزیه واریانس داده‌های حاصل از بررسی صفات مختلف گیاهچه‌های ژنوتیپ *Ler-0* و *ron1-1* در واکنش به غلظت‌های مختلف ABA

منابع تغییرات	درجه آزادی	میانگین مربوط	جوانه‌زنی	طول ریشه اصلی	تعداد ریشه‌جانبی	تعداد برگ
ژنوتیپ	۱		۶۳۳۷/۵ **	۲۲۸/۷۵ **	۱۸۳/۹۸ **	۲۹/۹۲ **
تیمار	۳		۱۷۴۸/۶**	۱۷۴۵/۶۳ **	۴۷۸/۶۳ **	۲۳/۲۷ **
ژنوتیپ * تیمار	۳		۳۸۱/۹ n.s.	۱۷/۱۱ *	۶۱/۲۴ **	۲۳/۳۷ **
خطا	۱۶		۱۴۱/۶	۴/۷۰	۱/۵۱	۰/۱۴
کل	۲۳		۱۰/۴۹	۱۰/۴۰	۱۸/۵۹	۷/۵۰
CV						

*: معنی دار در سطح پنج درصد **: معنی دار در سطح یک درصد n.s.: غیر معنی دار

(شاهد) مشاهده شد و کمترین تعداد ریشه‌جانبی در غلظت امیکرومول ABA در ژنوتیپ *ron1-1* مشاهده شد و در غلظت ۲ میکرومول ABA ریشه جانبی در هیچ یک از ژنوتیپ‌ها مشاهده نشد (نمودار ۱- ج). بنابراین می‌توان اینگونه استنباط کرد که وقوع موتاسیون در ژن *RON1* موجب کاهش قابل توجه تعداد ریشه‌های جانبی در گیاهچه‌های موتانت *ron1-1* شده است.

اثر مقابل ژنوتیپ در غلظت‌های مختلف ABA بر صفت تعداد برگ نشان داد که با افزایش غلظت ABA در هردو ژنوتیپ موتانت و مادری تعداد برگ کاهش یافته است. بیشترین تعداد برگ در ژنوتیپ *Ler-0* در غلظت صفر میکرومول (شاهد) مشاهده شد و کمترین تعداد برگ در غلظت ۲ میکرومول ABA در ژنوتیپ *ron1-1* به ترتیب ۸ و ۲ برگ می‌باشند. بنابراین وقوع جهش نقطه‌ای در ژن *RON1* موجب کاهش قابل توجه تعداد برگ در گیاهچه‌های موتانت *ron1-1* شده است.

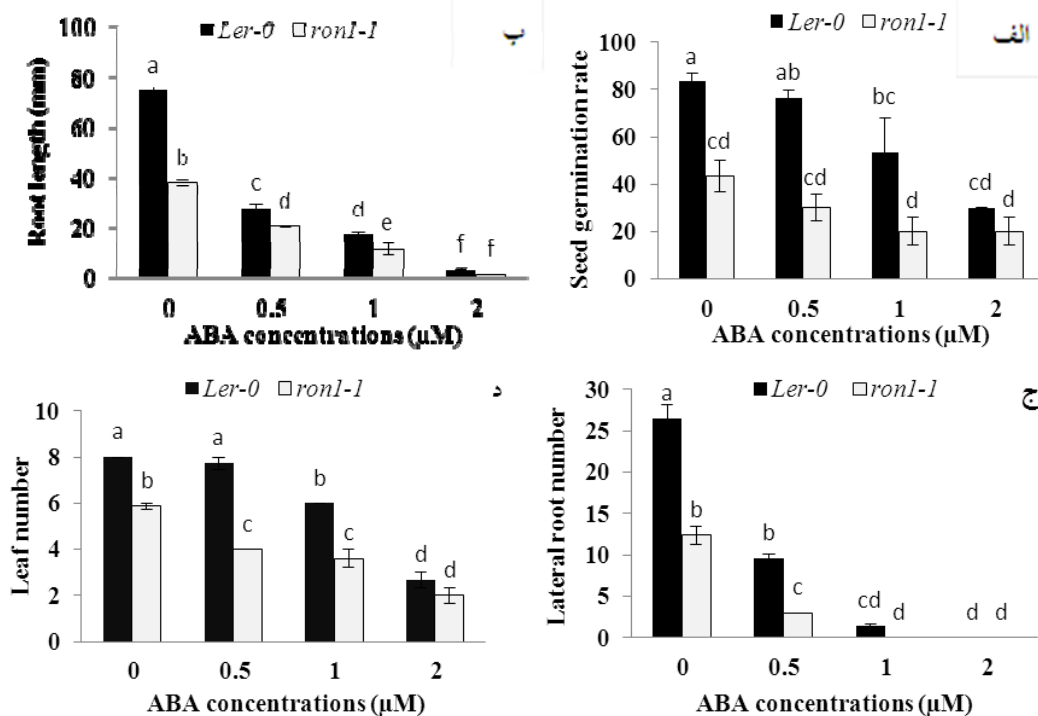
بررسی داده‌ها نشان می‌دهد که ژنوتیپ‌ها در واکنش به غلظت‌های مختلف IAA از نظر صفت طول ریشه دارای تفاوت معنی داری می‌باشند، به نحوی که بیشترین طول ریشه در ژنوتیپ مادری مشاهده می‌شود (جدول ۲). بررسی نتایج تأثیر غلظت‌های مختلف IAA بر طول ریشه در گیاهچه‌های مادری و موتانت نشان می‌دهد که طول

اثر مقابل ژنوتیپ و غلظت‌های مختلف ABA بر صفت طول ریشه، تعداد ریشه‌جانبی و تعداد برگ معنی دار بود و مطابق نمودار ۱- ب، ج و د این اثر مقابل برای این صفت و سایر صفات به طور مشابه از نوع تغییر در مقدار بود، از این‌رو نیازی به برش دهی (یعنی بررسی هر یک از ژنوتیپ‌ها نسبت به غلظت‌های مختلف ABA به صورت جداگانه) نبود. در شرایط نرمال طول ریشه اصلی در ژنوتیپ مادری *Ler-0* تقریباً دو برابر آن در ژنوتیپ موتانت *ron1-1* بود (نمودار ۱- ب). در واقع طول ریشه اصلی در هر دو ژنوتیپ موتانت و مادری در غلظت‌های مختلف ۰/۵، ۱ او ۲ میکرومول در مقایسه با حالت شاهد دارای روند کاهشی بودند، این در حالی است که با افزایش غلظت از صفر به ۰/۵، ۱ او ۲ میکرومول میزان کاهش طول ریشه در گیاهچه‌های *ron1-1* نسبت به طول ریشه اصلی در گیاهچه‌های *Ler-0* به نسبت ۱/۵، ۱/۳ او ۲/۵ برابر کاهش یافت.

اثر مقابل ژنوتیپ‌ها در غلظت‌های مختلف ABA بر صفت تعداد ریشه جانبی نشان داد که به ترتیب در غلظت‌های ۰، ۱ و ۲ میکرومول تعداد ریشه‌جانبی در ژنوتیپ مادری *Ler-0* در مقایسه با ژنوتیپ موتانت *ron1-1* به نسبت ۲، ۲ و ۴ برابر افزایش نشان داد. بیشترین تعداد ریشه جانبی در ژنوتیپ ۰ در غلظت صفر میکرومول

اصلی ژنوتیپ *Ler-0* در حدود دو برابر ژنوتیپ موتانت *ron1-1* می‌باشد و همچنین در غلطت‌های ۰/۵، ۰/۱۰ و ۰/۱۵ میکرومول به ترتیب در حدود ۳، ۳/۵ و ۲ برابر بیشتر از میزان طول ریشه در ژنوتیپ موتانت *ron1-1* *RON1* موجب کاهش معنی‌بنا برای تغییر در فعالیت ژن *RON1* موتانت *ron1-1* شده است.

ریشه اصلی در ژنوتیپ موتانت *ron1-1* نسبت به بذرها مادری *Ler-0* کاهش معنی داری یافته است (جدول ۲، نمودار ۲-الف، شکل ۳). به طوری که بیشترین طول ریشه در ژنوتیپ *Ler-0* در غلطت صفر میکرومول (شاهد) و کمترین طول ریشه در غلطت ۱۰ میکرومول IAA در ژنوتیپ *ron1-1* مشاهده شد (نمودار ۲). اثربتقابل ژنوتیپ و غلطت‌های مختلف IAA بر صفت طول ریشه معنی‌دار بوده (جدول ۲)، به طوری که در شرایط نرمال طول ریشه

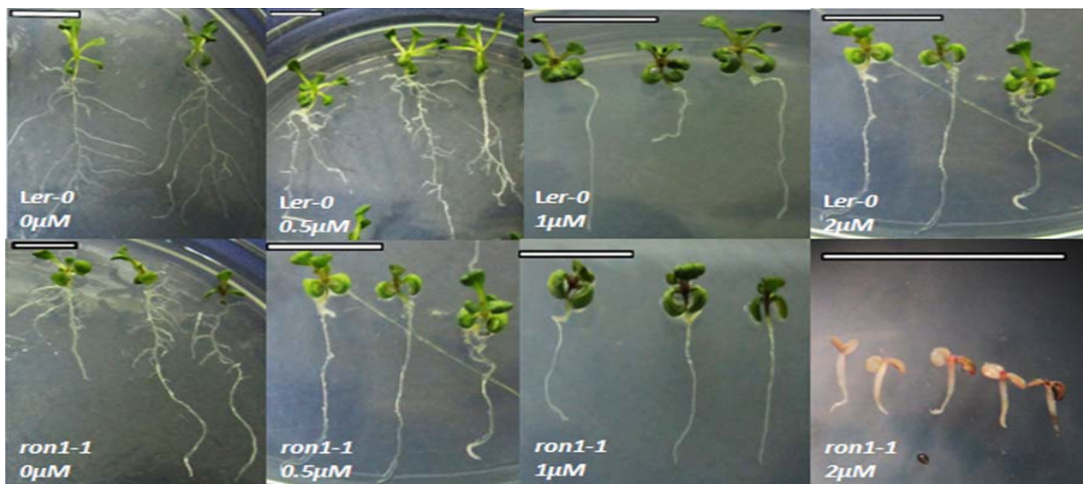


نمودار ۱- مقایسه میانگین بررسی داده‌های مربوط به صفات مختلف آرایید پسیس شامل جوانزنی (الف)، طول ریشه (ب)، تعداد ریشه جانبی (ج) و تعداد برگ (د) در واکنش به غلطت‌های مختلف ABA در گیاهچه‌های مادری *Ler-0* و موتانت *ron1-1*.

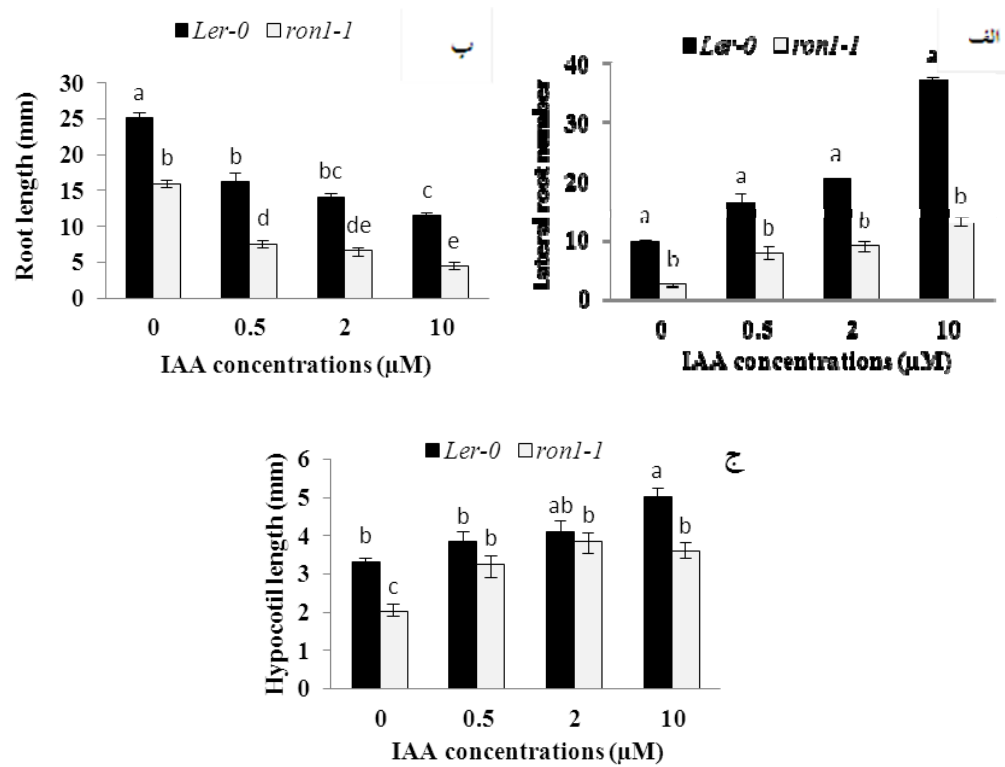
جدول ۲- تجزیه واریانس داده‌های حاصل از بررسی صفات مختلف گیاهچه‌های ژنوتیپ *Ler-0* و *ron1-1* در واکنش به غلطت‌های مختلف IAA

میانگین مرتعات	منابع تغییرات	درجه آزادی
طول ریشه اصلی	ژنوتیپ	۱
طول هیپوکوتیل	تیمار	۳
تعداد ریشه جانبی	ژنوتیپ * تیمار	۳
۴/۸۲ **	**	
۷۸۴/۸۹ **		
۹۸/۳۸ **		
۳/۰۵۶ **		
۲۴۳/۸۶ **		
۱۳۹/۲۴ **		
۰/۴۷۹ n.s		
۲۸/۳۲ n.s		
۹۲/۵۷ **		
۰/۱۸		
۱۸/۶۲		
۳/۲۵		
۱۱/۷۳		
۱۳/۵		
۱۴/۵۱		
n.s	CV	

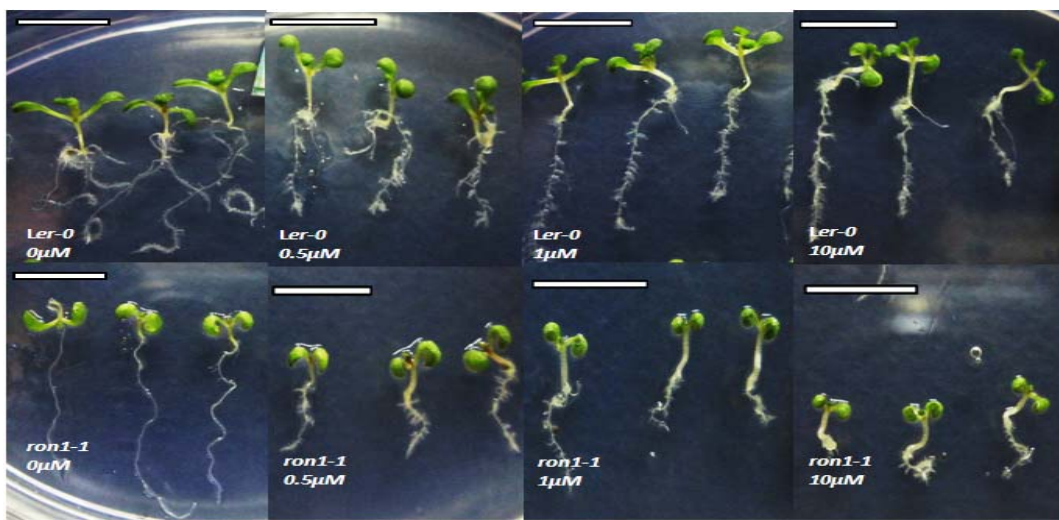
*: معنی دار در سطح پنج درصد **: معنی دار در سطح یک درصد



شکل ۲- گیاهچه‌های مادری *Ler-0* و موتانت *ron1-1* رشد کرده در محیط غذایی MS حاوی غلظت‌های مختلف (۰، ۰.۵، ۱، ۲ میکرومول) ABA. مقیاس در شکل‌های فوق ۱۰ میلی‌متر می‌باشد.



نمودار ۲- مقایسه میانگین بررسی داده‌های مربوط به صفات مختلف آراییدپسیس شامل طول ریشه (الف)، تعداد ریشه جانبی (ب) و طول هیپوکوتیل (ج) در واکنش به غلظت‌های مختلف IAA در گیاهچه‌های مادری *Ler-0* و موتانت *ron1-1*



شکل ۳- گیاهچه‌های مادری *Ler-0* و موتانت *ron1-1* رشد کرده در محیط غذایی MS حاوی غلظت‌های مختلف (۰، ۰.۵، ۱، ۱۰ میکرومول) IAA. مقیاس در شکلها ۱۰ میلی‌متر می‌باشد.

افزایش غلظت IAA تعداد ریشه جانبی افزایش یافت، بیشترین تعداد ریشه‌جانبی در ژنوتیپ *Ler-0* در غلظت ۱۰ میکرومول IAA و کمترین تعداد ریشه جانبی در ژنوتیپ موتانت *ron1-1* در غلظت صفر میکرومول (شاهد) مشاهده شد (نمودار ۲-ب).

تأثیر غلظت‌های مختلف IAA بر طول هیپوکوتیل در گیاهچه‌های مادری و موتانت نشان می‌دهد که طول هیپوکوتیل در ژنوتیپ موتانت *ron1-1* تحت تأثیر غلظت‌های مختلف IAA نسبت به ژنوتیپ مادری *Ler-0* تفاوت معنی داری را نشان می‌دهد. طول هیپوکوتیل در ژنوتیپ مادری *Ler-0* در شرایط نرمال در حدود ۱/۵ برابر طول هیپوکوتیل ژنوتیپ موتانت *ron1-1* می‌باشد (جدول ۲-ج، شکل ۳). اثر متقابل ژنوتیپ در غلظت‌های مختلف IAA بر صفت طول هیپوکوتیل معنی دار نبود، به طوری که بیشترین طول هیپوکوتیل در ژنوتیپ *Ler-0* غلظت ۱۰ میکرومول مشاهده شد و کمترین طول هیپوکوتیل در غلظت صفر میکرومول IAA در ژنوتیپ *ron1-1* مشاهده شد (جدول ۲، نمودار ۲-ج، تصویر ۵). پاسخ گیاهان موتانت به IAA کاهش یافته است و در غلظت‌های ۰/۵، ۰/۱۰ و ۱۰ میکرومول تفاوت معنی داری در

ژنوتیپ‌ها از نظر صفت تعداد ریشه‌جانبی و طول هیپوکوتیل نیز دارای تفاوت معنی‌داری در واکنش به غلظت‌های مختلف IAA می‌باشند، به نحوی که بیشترین تعداد ریشه جانبی و طول هیپوکوتیل در ژنوتیپ مادری مشاهده می‌شود (جدول ۲، نمودار ۲-ب، ج، شکل ۳). تأثیر غلظت‌های مختلف IAA بر تعداد ریشه‌جانبی در گیاهچه‌های مادری و موتانت نشان می‌دهد که تعداد ریشه جانبی در گیاهچه‌های موتانت *ron1-1* تحت تأثیر غلظت‌های مختلف IAA نسبت به بذرهای مادری *Ler-0* کاهش معنی داری داشته است (جدول ۲، نمودار ۲، شکل ۳). در شرایط نرمال تعداد ریشه‌جانبی ژنوتیپ *Ler-0* بیش از سه برابر ژنوتیپ موتانت *ron1-1* می‌باشد. با افزایش غلظت AIA تعداد ریشه‌جانبی در هردو ژنوتیپ موتانت و مادری افزایش می‌یابد، اما شدت افزایش تعداد ریشه جانبی در ژنوتیپ *ron1-1* بسیار بیشتر از ژنوتیپ موتانت *Ler-0* می‌باشد. به نحوی که تعداد میانگین ریشه‌جانبی ژنوتیپ *Ler-0* از غلظت صفر تا ۱۰ میکرومول در حدود ۲۷ عدد افزایش یافته، این در حالی است که در ژنوتیپ موتانت میانگین افزایش ۱۲ عدد می‌باشد (جدول ۱، نمودار ۲-ب، شکل ۳). بنابراین در گیاهچه‌های موتانت و مادری با

طول هیپوکوتیل در ژنوتیپ مادری و کمترین در ژنوتیپ موتانت مشاهده می‌شود. همچنین غلظت‌های مختلف ACC نیز دارای تفاوت معنی داری می‌باشند. اثر متقابل ژنوتیپ در غلظت‌های مختلف ACC بر صفت طول ریشه و طول هیپوکوتیل نیز معنی دار است (جدول ۳). بیشترین طول ریشه و طول هیپوکوتیل در ژنوتیپ *Ler-0* در غلظت صفر میکرومول (شاهد) مشاهده شد. جالب اینکه طول ریشه و طول هیپوکوتیل در تمام غلظت‌های ACC در هر دو ژنوتیپ *Ler*, *ron1-1* به کمترین میزان خود رسید (جدول ۳، نمودار ۳-الف و ۳-ب). در شرایط نرمال اندازه طول ریشه ژنوتیپ مادری دو برابر و طول هیپوکوتیل ژنوتیپ مادری سه برابر ژنوتیپ موتانت می‌باشد (نمودار ۳-الف و ۳-ب). از این‌رو با افزایش غلظت ACC *ron1-1* ژنوتیپ *Ler-0* واکنش بیشتری در مقایسه با ژنوتیپ *Ler-0* نشان می‌دهد. جالب اینکه با افزایش غلظت ACC تفاوت قابل توجهی در زمینه طول ریشه و طول هیپوکوتیل در گیاهچه‌های موتانت *ron1-1* مشاهده نشد. بنابراین تغییر در فعالیت ژن *RON1* موجب کاهش معنی دار طول ریشه اصلی و طول هیپوکوتیل در گیاهچه‌های موتانت *ron1-1* نشده است و حتی در گیاهچه‌های *Ler-0* واکنش این گیاهان به ACC کاهش یافته است.

جدول ۳- تجزیه واریانس داده‌های حاصل از بررسی صفات مختلف در گیاهچه‌های ژنوتیپ *Ler-0* و *ron1-1* در واکنش به غلظت‌های مختلف

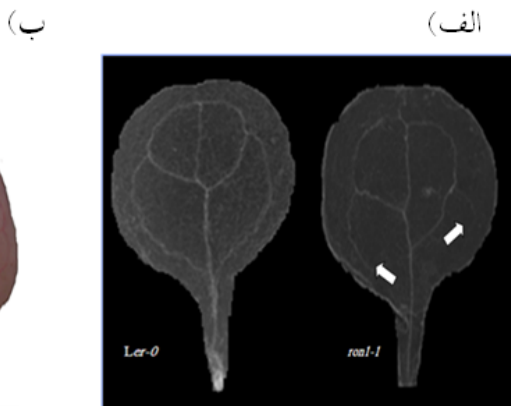
ACC	منابع تغییرات	درجه آزادی
میانگین مرتعات		
طول ریشه	ژنوتیپ	۱
طول هیپوکوتیل	ACC	۴
قطر ریشه	ژنوتیپ * تیمار	۴
۰/۰۰۷ **	خطا	۲۰
۰/۰۳ **	کل	۲۹
۰/۰۰۱ n.s	CV	
۰/۰۰۰۸		
۹/۷۶	*	
۱۰/۰۱	**	
۱۵/۰۵	**	

*: معنی دار در سطح پنج درصد **: معنی دار در سطح یک درصد n.s: غیر معنی دار

طول هیپوکوتیل در پاسخ به IAA در موتانت *ron1-1* مشاهده نشد. بنابراین تغییر در فعالیت ژن *RON1* موجب کاهش معنی دار طول هیپوکوتیل در گیاهچه‌های موتانت *ron1-1* شده است.

در آزمایش فوق بررسی وضعیت رگبرگی گیاهچه موتانت *ron1-1* در مقایسه با ژنوتیپ مادری در سن ۳۰ روزه‌گی نیز مورد بررسی قرار گرفت. بررسی رگبرگ‌ها در کوتیلدون‌های گیاهچه‌های *ron1-1* نشان داد که رگبرگ در این گیاهچه‌ها باز است. در حالی‌که در ژنوتیپ *Ler-0* هیچ رگبرگ بازی مشاهده نمی‌شود. از بررسی برگ‌های سوم نیز مشخص شد که گیاهان موتانت *ron1-1* دارای شبکه‌های رگبرگی ثانویه باز و ساختار رگبرگی ضعیفی می‌باشند، درحالی‌که در ژنوتیپ *Ler-0* بیشترین شبکه رگبرگی مشاهده می‌شود و این رگبرگ‌ها دارای بیشترین پیوسنگی می‌باشد (شکل ۴) و با افزایش سن گیاه تفاوت قابل توجهی در زمینه پیوسنگی رگبرگ‌ها در ژنوتیپ موتانت در مقایسه با پژوهش روبلز و همکاران (۲۰۱۰) که در سن ۲۲ روزه‌گی انجام شده بود، مشاهده نشد.

آنالیز داده‌ای بدست‌آمده از بررسی تأثیر غلظت‌های مختلف ACC بر طول ریشه و طول هیپوکوتیل در گیاهچه‌های مادری و موتانت نشان می‌دهد که ژنوتیپ‌ها در زمینه صفت طول ریشه و طول هیپوکوتیل دارای تفاوت معنی داری می‌باشند (جدول ۳). بیشترین طول ریشه و



شکل ۴- بررسی تأثیر جهش‌های *ron1-I* در ژن *RONI* بر وضعیت رگبرگ‌های گیاهچه‌های ۳۰ روزه آربیدوپسیس تالیان، الف: کوتیلدون‌ها ببرگ سوم. فلش‌ها نشان‌دهنده باز بودن شبکه رگبرگی در گیاهچه‌های موتانت است.

بر واکنش موتانت *ron1-I* *ron1-I* نداشته و به نظر می‌رسد سیگنالینگ اتیلن در گیاه موتانت *ron1-I* مختلف شده است.

بحث

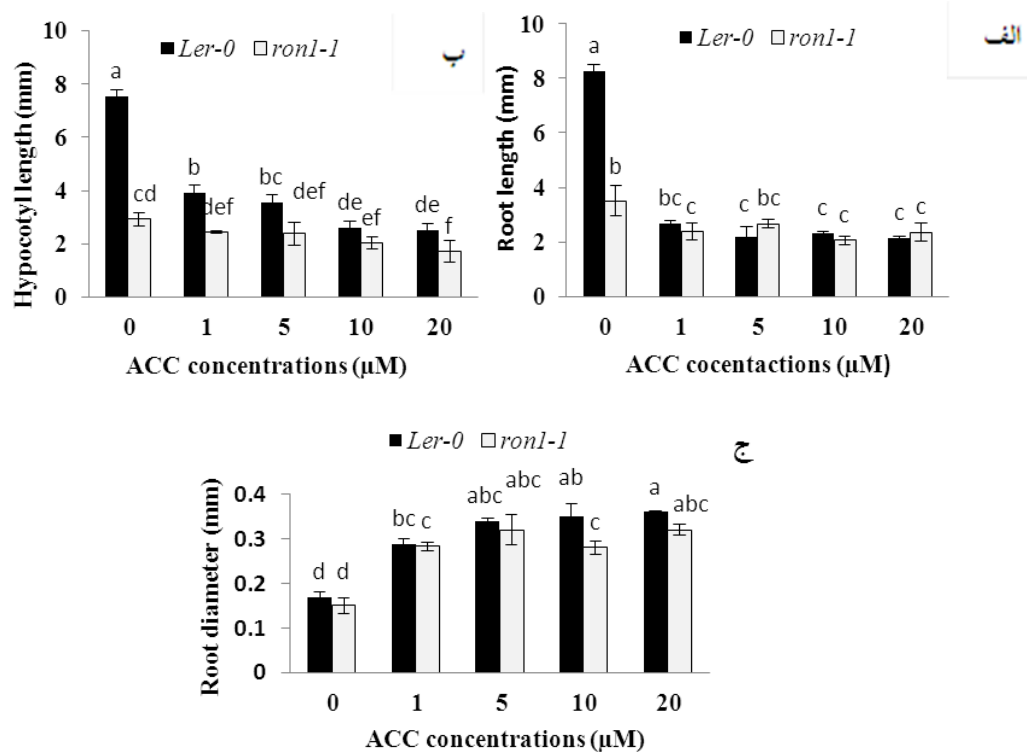
گیاهان موتانت *ron1-I* دارای یک موتاسیون جدید در ژن *FRYI* در والد *Ler-0* بوده که از دیگر موتانت‌های گزارش شده در این ژن متمایز می‌باشدند. با تغییر والد بخش زیادی از محتواهای ژنومی تغییر می‌کند و وجود فاکتورهایی مانند مدیفايرها در ژنوم (Genome Modifiers) می‌تواند تأثیر موتاسیون بر خصوصیات گیاه میزان را تغییر دهد. این عوامل می‌توانند اثرات حتی یک موتاسیون مشابه را در والدین مختلف به نحو قابل توجهی تغییر دهند (۱۸). در این پژوهش یک موتاسیون مشابه در ۲ والد مختلف *Ler-0* و *Col-0* بدلیل عوامل تغییر دهنده فوق منجر به بروز ژنتوتیپ‌های مختلفی در شرایط آزمایش مشابه شد. در گزارش دیگری عوامل تغییر دهنده فوق شناسایی شدند (۱۱). ژن *FRYI* دارای عملکردهای متعددی بوده و موتاسیونهای مختلفی در آن در زمینه‌های ژنومی متفاوت تا کنون شناسایی شده است که با توجه به اینکه موتاسیون در کدام اگزون این ژن و در چه زمینه ژنتیکی رخ داده شاهد واکنش‌های مختلفی در گزارش‌های علمی (۵) بوده ایم. از آنجائیکه ژن *RONI/FRYI* دارای فعالیت‌هایی در ارتباط با بیوسترز، سیگنالینگ و انتقال سه

بنابراین تغییر در فعالیت ژن *RONI* موجب کاهش معنی دار طول هیپوکوتیل و طول ریشه در گیاهچه‌های موتانت *ron1-I* نشده است، همچنین واکنش این گیاهان به ACC کاهش یافته است.

آنالیز داده‌های بدست‌آمده از بررسی تأثیر غلطنهای مختلف ACC بر قطر ریشه در گیاهچه‌های مادری و موتانت نشان می‌دهد که ژنوتیپ‌ها در صفت قطر ریشه دارای تفاوت معنی داری می‌باشند، بیشترین قطر ریشه در ژنوتیپ مادری و کمترین قطر ریشه در ژنوتیپ موتانت مشاهده می‌شود. همچنین غلطنهای مختلف ACC نیز دارای تفاوت معنی داری می‌باشند. آنالیز داده‌های بدست‌آمده نشان می‌دهد که اثر مقابل ژنوتیپ در غلطنهای مختلف ACC بر صفت قطر ریشه معنی دار نبوده است. لازم به ذکر است که با افزایش غلطت ACC از صفر به ۲۰ میکرومول قطر ریشه در هر دو ژنوتیپ موتانت و مادری ۷ برابر شده است. بیشترین قطر ریشه در ژنوتیپ *Ler-0* در غلطت ۲۰ میکرومول مشاهده شد و کمترین قطر ریشه در غلطت - صفر میکرومول در ژنوتیپ *ron1-I* مشاهده شد (جدول ۳، نمودار ۳-ج). آزمون تغییرات سه‌گانه با هدف سنجش و بررسی سالم بودن مسیر سیگنالینگ اتیلن در موتانت *ron1-I* انجام شد. هورمون خارجی پیش ساز اتیلن تأثیری

Ler-0 است ضروریست. این موتاسیون نقطه‌ای منجر به از عدم تولید پروتئین RON1 در گیاهچه‌های موتانت شده است.

هورمون اتیلن، اسید آبسیزیک و اکسین می‌باشد، از این‌رو بررسی گیاهچه‌های *ron1-1* که دارای یک موتاسیون منحصر بفرد در مرز اگزون و ایترون شماره ۲ و در والد



نمودار ۳- مقایسه میانگین بررسی داده‌های مربوط به صفات مختلف آرابیدوپسیس شامل طول ریشه (الف)، طول هیپوکوتیل (ب) و قطر ریشه (ج) در *ron1-1* و موتانت ACC در گیاهچه‌های مادری *Ler-0* با غلطت‌های مختلف در واکنش به واکنش به

موتانت شده است، که این تجمع باعث کاهش عملکرد ژن *fry1* شده و می‌تواند موجب کاهش تعداد ریشه جانبی، طول ریشه اصلی و طول هیپوکوتیل شود (۵). اختلال در بیان ژن *FRY1/RON1* در گیاهچه‌های موتانت *ron1-1* در عدم حضور ABA موجب کاهش تعداد ریشه‌جانبی شده. که این روند با افزایش غلطت‌های ABA تشدید می‌شود. موتانت‌هایی که بر سنتز اکسین تأثیر می‌گذارند تأثیر قابل توجه‌ای بر خصوصیات گیاهچه‌ها در زمینه تشکیل ریشه جانبی، طول ریشه موئی، طول ساقه و کاهش تعداد برگ نشان می‌دهند (۱۷). از جمله دلایل کاهش طول ریشه در موتانت‌های *fry1* می‌تواند به دلیل افزایش خاموشی برخی ژنها مثل *NAC1* باشد. این ژن واسطه رشد ریشه

وقوع موتاسیون در ژن *RON1* موجب کاهش قابل توجه میزان جوانه زنی در بذرهای موتانت *ron1-1* در واکنش به غلطت‌های مختلف ABA شد. کاهش قابل توجه میزان جوانه زنی فوق در بذرهای موتانت *ron1-1* و همچنین کاهش تعداد ریشه جانبی با افزایش غلطت ABA در گیاهچه‌های موتانت و مادری می‌تواند به این دلیل باشد که در حضور ABA میزان جوانه زنی کاهش و توسعه ریشه جانبی مهار می‌شود، این اتفاق بلا فاصله بعد از ظهور پریموردیای ریشه جانبی و قبل از فعال شدن مریستم ریشه جانبی رخ می‌دهد (۴). بنابراین با افزایش غلطت ABA میزان مهار ریشه جانبی نیز افزایش خواهد یافت. جهش در ژن *FRY1/RON1* باعث تجمع PAP در سلول‌های گیاهان

افزایش یافته است. در حالی که این افزایش در گیاهچه‌های موتانت قابل توجه نیست. تفاوت فوق در میزان افزایش تعداد ریشه‌های جانبی بین گیاهچه‌های مادری و موتانت می‌تواند به این دلیل باشد که از آنجائیکه افزایش تعداد ریشه‌های جانبی را از طریق فعالیت بر *FRY1/RON1* توسعه ریشه‌جانبی می‌نماید. این ریشه‌جانبی شود. اینگونه استنباط می‌شود که موتانت *ron1-1* نیز مانند موتانت‌هایی که بر سنتز اکسین تأثیر می‌گذارند، تأثیر قابل توجهی بر تشكیل ریشه‌جانبی، طول ریشه مؤئی و طول هیپوکوتیل دارد (۱۷). یکی از علل نقص ریشه‌جانبی در موتانت‌های *fry1* افزایش خاموشی ژن *NAC1* در انواع خاصی از سلول‌ها می‌باشد. این ژن واسطه رشد ریشه‌جانبی می‌باشد و پایین دست ژن *TIR1* قرار دارد و توسط *miRNA164* سرکوب می‌شود و رشد ریشه‌جانبی را کاهش می‌دهد (۵). جهش در ژن *RON1* در گیاهچه‌های موتانت در عدم حضور IAA موجب کاهش تعداد ریشه‌جانبی شده که این روند با افزایش غلط‌های IAA تابعی است. از آنجاییکه فعالیت ژن *FRY1/RON1* بر میزان اکسین تولید شده در گیاه مؤثر است، جهش در این ژن موجب کاهش سطوح بیان برخی از پیش سازهای اکسین از جمله ایندول-۳-استو نیتریل می‌شود (۱۷). از این‌رو به نظر می‌رسد موتاسیون *ron1-1* می‌تواند بر میزان بیان ژن-های مرتبط مؤثر بوده و میزان تولید هورمون اکسین و IAA را تغییر دهد. گیاهان موتانت *fry1* در ژن *FRY1/RON1* دارای موتاسیون می‌باشند، بیان این ژن در شرایط تنش در گیاهان نرمал زیاد می‌شود تا گیاه از طریق محصولات این ژن به شرایط تنش (افزایش غلط‌های هورمون) پاسخ دهد، اما در شرایط تنش عملکرد این ژن دچار اختلال شده و گیاهان موتانت قادر نخواهند بود مانند گیاهان مادری به تنش پاسخ دهنند (۳). آنزیم PAP یک محصول از ژن

بوده و در پایین دست *TIR1* قرار دارد (۵). ژن *FRY1/RON1* توسعه ریشه‌جانبی را از طریق فعالیت بر آدنوزین^{۳'} و ^{۵'} بیوفسفات (PAP) تنظیم می‌کند که یک مهارکننده قوی اگزوریبونوکلئازی (XRN) است (۵). بیشترین میزان طول ریشه در ژنوتیپ مادری و کمترین طول ریشه در ژنوتیپ *ron1-1* مشاهده شد. ژن *FRY1/RON1* که روی شکل‌گیری ساختار ریشه و همچنین شرایط تنش نقش دارد (۵) در ژنوتیپ موتانت *ron1-1* حاوی یک موتاسیون نقطه‌ای می‌باشد. از این‌رو می‌توان نتیجه گرفت که ژنوتیپ *ron1-1* دارای طول ریشه، تعداد برگ و تعداد ریشه‌جانبی کمتری نسبت به ژنوتیپ مادری خود می‌باشد. بنابراین به نظر می‌رسد *FRY1/RON1* با اختلالی که در عملکرد ژن *ron1-1* ایجاد می‌کند، باعث تجمع IP3 در بذرهای موتانت در حال جوانه‌زنی شده و بذرهای موتانت با تولید ABA به تجمع IP3 پاسخ می‌دهند و این امر منجر به کاهش و تأخیر در جوانه‌زنی بذرهای موتانت نسبت به بذرهای مادری می‌باشد. از آنجاییکه گیاهان موتانت بدليل جهشی که در ژن *FRY1/RON1* دارند دارای مقدار بیشتری ABA درون سلولی در شرایط نرمال در مقایسه با ژنوتیپ‌های مادری هستند. احتملاً مقدار ABA در شرایط تنش در ژنوتیپ موتانت افزایش می‌یابد (۲۳). یکی از عملکردهای ژن *FRY1/RON1* در سیگنالینگ ABA می‌باشد و به دلیل اینکه برخی از موتانت‌های دیگر این ژن مانند *fry1* در سیگنالینگ و درک ABA اختلال دارند، بنابراین به نظر می‌رسد احتمالاً موتانت *ron1-1* نیز در سیگنالینگ ABA دارای اختلال است. به همین دلیل در غلط‌های مختلف این هورمون علاوه بر جوانه‌زنی برخی دیگر از خصوصیات مورفولوژیکی نیز بررسی شد تا اثر این هورمون در برخی دیگر از صفات مورفولوژیکی نیز بررسی شود.

نتایج بدست آمده نشان می‌دهد با افزایش غلط IAA تعداد ریشه‌جانبی در گیاهچه‌های مادری به نحو قابل توجه

ژنوتیپ موتانت در مقایسه با پژوهش روبلز و همکاران (۲۰۱۰) که در سن ۲۲ روزه‌گی انجام شده بود، مشاهده نشد. بنابراین می‌توان نتیجه گرفت که چون ژن *RONI/FRYI* کد کننده آنزیم اینوزیتول پلی فسفات-۱-فسفاتاز و ۳'۲)(۵'-بیس فسفات نوکلئوتیداز می‌باشد، و تعیین‌کننده الگوی قرار گیری رگبرگ‌ها نیز می‌باشد. جهش *fryl/ronl-1* و جهش‌هایی که بر سنتز اکسین تأثیر می‌گذارند، در الگوی قرار گرفتن رگبرگ اختلال و تغییر ایجاد می‌کنند (۱۷). ژن *RONI* بر سنتز اکسین مؤثر است، موتانت‌های *ronl-1* در سطح بیان ۳۸ متابولیت ازجمله مایواینوزیتول و ایندول-۳-استونیتریل (پیش ساز اکسین) دارای اختلال می‌باشند (۷و ۱۷). بنابراین برخی از موتانت‌های این ژن (مانند *ronl-1*)، به دلیل اختلال در بیان ژن *RONI/FRYI* که مؤثر بر سنتز پیش سازهای اکسین و بیان *COTYLEDON* (CVP2) می‌باشد، دست از جمله *VASCULAR PATTERN5* رگبرگ می‌باشند، دچار اختلال می‌باشد. بنابراین شبکه رگبرگی باز در برخی از موتانت‌های *ronl-1* مشاهده می‌گردد.

با توجه به نتایج بدست‌آمده در این پژوهش، با افزایش غلظت ACC تغییرات چندانی در کاهش طول ریشه و هیپوکوتیل ژنوتیپ موتانت *ronl-1* مشاهده نمی‌شود، از این‌رو شاهد کاهش پاسخ اتیلن در این ژنوتیپ می‌باشیم. لازم به ذکر است که با افزایش غلظت ACC در گیاهان موتانت *ronl-1* برخلاف ژنوتیپ مادری پیچیدگی رأسی را مشاهده نمی‌کنیم که احتمالاً ناشی از عدم درک اتیلن *ronl-1* می‌باشد. مطابق نمودار ۳-الف و ۳-ب ژنوتیپ از نظر دو صفت ذکر شده دارای تفاوت معنی‌داری با ژنوتیپ مادری می‌باشد. از آنجایی که ژنوتیپ مادری-*Ler*-۰ از مسیر بیوسترز، درک و سیگنالینگ اتیلن نرمالی برخوردار است، بنابراین ژنوتیپ *ronl-1* بدليل داشتن تفاوت معنی‌دار از لحاظ صفات بررسی شده در مقایسه با ژنوتیپ مادری احتمالاً دچار اختلال در مسیر بیوسترز،

FRYI می‌باشد که یک مهارکننده قوی آنزیم‌های ساخت RNA می‌باشد. مطالعات انجام شده در موتانت *fryl-1* نشان می‌دهد که کاهش تولید ریشه جانبی به دلیل از دست *FRYI/RONI* رفتن فعالیت PAP در موتانت‌های های ژن *RONI* می‌باشد. موتانت‌های *FRYI/RONI* ویژگی موتانت‌های مقاوم به اکسین را مثل کاهش رشد، کوتاه شدن هیپوکوتیل و کاهش چشمگیر رشد ریشه‌جانبی نشان می‌دهد (۵). لازم به ذکر است که اکسین (IAA) در غلظت‌های بالاتر از ۱۰ مولار بر طویل شدن ریشه‌های اولیه اثر بازدارندگی دارد، ولی تشکیل ریشه جانبی به وسیله مقادیر زیاد اکسین تحریک می‌شوند (۱). افزایش تعداد ریشه‌جانبی در گیاهان موتانت *ronl-1* بدليل جهش در ژن *RONI* بسیار کمتر می‌باشد. بنابراین جهش *ronl-1* موجب تغییر در تعداد ریشه جانبی و طول ریشه اصلی و طول هیپوکوتیل در گیاهچه‌های موتانت می‌شود (۱۷). به دلیل اینکه موتانت *ronl-1* در سنتز برخی از پیش سازهای اکسین اختلال دارد، بنابراین به نظر می‌رسد احتمالاً در درک هورمون IAA نیز دچار اختلال باشد. از این رو این گیاهان موتانت تحت تیمار غلظت‌های مختلف هورمون IAA بررسی شدند تا میزان درک این هورمون در ژنوتیپ موتانت در مقایسه با ژنوتیپ مادری مقایسه گردد. نتایج نشان دادند که مقدار افزایش طول هیپوکوتیل و تعداد ریشه در این موتانت با افزایش غلظت IAA نسبت به ژنوتیپ مادری بسیار کمتر می‌باشد.

در آزمایش بررسی وضعیت رگبرگ گیاهچه‌های موتانت *ronl-1* در مقایسه با ژنوتیپ مادری مشاهده شد که رگبرگ‌ها در گیاهچه موتانت *ronl-1* باز است، در حالی‌که در ژنوتیپ *Ler-0* هیچ رگبرگ بازی مشاهده نمی‌شود. از بررسی برگ‌های سوم مشخص شد که گیاهان موتانت *ronl-1* دارای شبکه‌های رگبرگی ثانویه باز و ساختار رگبرگی ضعیفی می‌باشند (شکل ۴)، و با افزایش سن گیاه تفاوت قابل توجهی در زمینه پیوستگی رگبرگ‌ها در

مقاومت به خشکی، احساس و سیگنالینگ هورمون، الگوی تشکیل رگبرگ، حساسیت به نور غیر نرمالی را از خود بروز می‌دهد (۱۰). از ژنهایی که در مسیر درک اتیلن مؤثر می‌باشند می‌توان به *XRN4* اشاره کرد. ازان جایی که در گیاهان موتانت *ron1/fry1* بیان این ژن دچار اختلال شده می‌توان درک پایین اتیلن توسط گیاهان موتانت را به عدم بیان *XRN4* در گیاهان موتانت مرتبط دانست. *XRN4* به عنوان جزء جدایی ناپذیر در سیگنالینگ اتیلن می‌باشد. تخریب RNA توسط *XRN4* به عنوان یکی فرایندهای پس از رونویسی می‌باشد که در درک این هورمون گیاهی مؤثر می‌باشد (۱۶).

بنابر نتایج بدست آمده از این پژوهش، جهش در ژن *FRY1/RON1* منجر به اختلال در درک و پاسخ به تنفس ایجاد شده توسط سه هورمون ACC, ABA, IAA در گیاهچه‌های موتانت شده است و این موتانت در پاسخ به هورمونها کاملاً متفاوت از ژنتیپ مادری بوده و مسیر سیگنالینگ ABA, IAA در آن به شدت تضعیف شده و سیگنالینگ اتیلن آن به طور کامل از کار افتاده و گیاهچه‌های ۵ روزه قادر به درک اتیلن نیستند.

تنش شوری. مجله پژوهش‌های گیاهی . جلد ۲۶. شماره ۴. صفحه ۴۶۶

۳- نجفی، فرزانه. محمدی، ف. ۱۳۹۴ تأثیر ایندول استیک اسید بر میزان رشد، پروثین، فعالیت آنزی مهای کاتالاز و پراکسیداز در تحت تنش آلومینیوم کلراید (*Glycine max*(L) Merr) گیاه سویا. مجله پژوهش‌های گیاهی . جلد ۲۸. شماره ۱. صفحه ۱۸۷

4- Boyer, J.S. (1982) Plant productivity and environment. Science. 218: 443–448.

5- Chen, H. and Xing, L. (2010) The bifunctional abiotic stress signaling regulator and endogenous RNA silencing suppressor *FIERY1* is required for lateral root formation. Plant Cell Environment. 33: 2180-90.

6- De Smet, I., Signora, L. Beeckman, T. Inze, D. Foyer, C.H. and Zhang, H. (2003) An abscisic acid- sensitive checkpoint in lateral root

درک و سیگنالینگ اتیلن می‌باشد. بنابراین براساس بررسی- های انجام شده جهش *ron1-1* در گیاهچه‌های موتانت *ron1-1* عامل اصلی تفاوت معنی‌دار با گیاهچه‌های مادری *Ler-0* در دو صفت طول هیپوکوتیل و طول ریشه است. شواهد نشان می‌دهد که مسیرهای سیگنالینگ اکسین و اتیلن در هم تنبیه است. در واقع، بسیاری از موتانت‌های اکسین، مانند *aux1*, *axr1*, *axr2*, *axr3*, *eir*, *wei1* دارای *aux1*, *axr1*, *axr2*, *axr3*, *eir*, *wei1* می‌توانند با اختلال در پاسخ‌های متفاوتی به اتیلن هستند (۵). بنابراین کاهش القا و تولید IAA در موتانت *ron1-1* می‌تواند با اختلال در پاسخ به اتیلن در این گیاه موتانت در ارتباط باشد. از وظایف ژن *FRY1/RON1* می‌توان به تجزیه PAP به *XRN2* و *P1* اشاره کرد، که این امر منجر به بیان ژن‌های *XRN3*, *XRN4* در گیاه شده و طی این روند ما شاهد ساختار ریشه مناسب، مقاومت به خشکی، الگوی تشکیل رگبرگ، حساسیت به نور ... می‌باشیم. اما در صورت بروز جهش در ژن *PAP* بدليل عدم تجزیه توسط ژن *ron1/fry1* در سلول تجمع می‌یابد و منجر به عدم بیان ژن‌های *XRN2*, *XRN3*, *XRN4* شده و ساختار ریشه،

منابع

۱- تایز، ل. زایگر، الف. (۱۳۸۸). فیزیولوژی گیاهی. ترجمه کافی، م. زند، الف. کامکار، ب. عباسی، ف و مهدوی دامغانی، ع. انتشارات جهاد دانشگاهی مشهد.

۲- عمومآقایی، ریحانه. ۱۳۹۲ . تأثیر برخی هورمونها و ترکیبات ازته روی ظرفیت، سرعت و هماهنگی جوانه زنی بذر های قیچ تحت

development of *Arabidopsis*. The Plant Journal. 33:543-555.

7- Francine, M. C. and Nelson, T. (2004). *COTYLEDON VASCULAR PATTERN2*-Mediated Inositol (1,4,5) Triphosphate Signal Transduction Is Essential for Closed Venation Patterns of *Arabidopsis* Foliar Organs. The Plant Cell. 16:1263–1275

- 8- Fukaki, H. and Tasaka, M. (2009) Hormone interactions during lateral root formation. *Plant Molecular Biology*. 69: 437–449.
- 9- Guzman, P. and Ecker, J. R. (1990) Exploiting the Triple Response of *Arabidopsis* To Identify Ethylene-Related Mutants. *The Plant Cell*. 2: 513–523.
- 10- Hirsch, J., J. Misson, P. A. Crisp, P. David, V. Bayle, G. M. Estavillo, H. Javot, S. Chiarenza, A. C. Mallory, and A. Maizel. (2011) A novel *fry1* allele reveals the existence of a mutant phenotype unrelated to 5'-> 3' exoribonuclease (XRN) activities in *Arabidopsis thaliana* roots. *PloS one* (6):2: 1672.
- 11- Jibran, R., Hunter, D. A. and Dijkwel, P.P.(2013). Hormonal regulation of leaf senescence through integration of developmental and stress signals. *Plant Molecular Biology* 82, 547–561.
- 12- Levitt, J. (1980) Responses of Plants to Environmental Stresses. Academic Press.
- 13- Ljung, K., Bhalerao, R. P. and Sandberg, G. (2001) Sites and homeostatic control of auxin biosynthesis in *Arabidopsis* during vegetative growth. *Plant journal*. 29: 325–332.
- 14- Mahajan, S., and N. Tuteja. (2005) Cold, salinity and drought stresses: an overview. *Archives of biochemistry and biophysics*. 444:139–158.
- 15- Overvoorde, P., Fukaki, H. and Beeckman, T. (2010) Auxin Control of Root Development. *Cold spring harb perspect biology*, 2:1537.
- 16- Potuschak T., Vansiri, A. Binder, B.M., Lechner, E., Vierstra, R.D. and Genschik, P. (2006) The exoribonuclease XRN4 is a component of the ethylene response pathway in *Arabidopsis*. *The Plant Cell*. 18: 3047–3057.
- 17- Robles, P., Fleury, D. Candela, H. Cnops, G., Alonso Peral, M. M. and Anami, S. (2010) The *RON1/FRY1/SAL1* gene is required for leaf morphogenesis and venation patterning in *Arabidopsis*. *Plant Physiology*. 152:1357-72.
- 18- Shirzadian-Khorramabad R, Jing H. C, Everts G. E, Schippers J. H. M, Hille J, Dijkwel, P. P. (2010) A mutation in the cytosolic O-acetylserine (thiol) lyase induces a genome-dependent early leaf death phenotype in *Arabidopsis*. *BMC Plant Biology* 10:80.
- 19- Stepanova, A., Ecker, J. (2000) Ethylene signaling. From mutants to molecules. *Current Opinion in Plant Biology*. 3: 353-360.
- 20- Speed, C.J., Little, P. J., Hayman, J.A. and Mitchell, C.A. (1996) Underexpression of the 43 kDa inositol polyphosphate 5-phosphataseis associated with cellular transformation. *EMBO Journal*. 15: 4852–4861.
- 21- Wang, K., Li, H. and Ecker, J. (2002) Ethylene Biosynthesis and Signaling Networks. *Plant cell*. 14(Supl1): S131-S151.
- 22- Wilson, P. B., Estavillo, G. M. Field, K. J. Pornsiriwong, W. Carroll, A. J. Howell, K. A. Woo, N. S. Lake, J. A. Smith, S. M. Harvey Millar, A. von Caemmerer S. and B. J. Pogson. (2009). The nucleotidase/phosphatase *SAL1* is a negative regulator of drought tolerance in *Arabidopsis*. *Plant Journal*. 58 :299-317.
- 23- Xiong, L., Lee, B. H., Ishitani, M., Lee H., Zhang C., Zhu, J.K. (2001) *FIERY1* encoding an inositol polyphosphate 1-phosphatase is a negative regulator of abscisic acid and stress signaling in *Arabidopsis*. *Genes Development*. 15: 1971-1984.
- 24- Xiong, L., Schumaker, K. S., and Zhu, J. K. (2002) Cell signaling during cold, drought, and salt stress. *The Plant Cell*. 14 (suppl 1):S165-S183.
- 25- Zakarias, L. and Reid, M.S. (1990) Role of growth regulators in the senescence of *Arabidopsis thaliana* leaves. *Physiologia Plantarum*. 80:549-554.

Effects of unfunctional RON1 enzyme in mutant plants *ron1-1* in response to hormonal-induced stress in *Arabidopsis*

Royan S.¹, Shirzadian-Khoramabad R.¹, Sabouri A.² and Zavareh M.²

¹ Agricultural Biotechnology Dept., Faculty of Agricultural Sciences, University of Guilan, Rasht, I.R. of Iran

² Agronomy and Plant Breeding Dept., Faculty of Agricultural Sciences, University of Guilan, Rasht, I.R. of Iran

Abstract

Plants normally change their hormone levels in response to biotic and abiotic stresses. Since RON1 affects either signaling or biosynthesis of hormones abscisic acid (ABA), Indol Acetic Acid (IAA) and Ethylene (C_2H_4), therefore, The effect of change in RON1 activity on several morphological characteristics including vein pattern, lateral root formation, hairy root, stem, root and apical has been investigated. Hereby, morphological and molecular characteristics of *ron1-1* mutant was evaluated and compared with the Ler-0 wild type plants in response to different concentrations of hormone IAA, ABA and ACC *in vitro* conditions. Based on the obtained results, there is a significant difference between primary root length, lateral root number, leaf number and rate of germination in mutant seedlings *ron1-1* when compared with the wild type seedlings in response to Different concentrations of ABA, ACC, and IAA. Moreover, Investigation of cotyledon and leaf veins in *ron1-1* mutant showed that secondary veins give open networks in *ron1-1*, while genotype Ler-0 has joined the network of veins. Overall, the results here indicate that a considerable increase in sensitivity of *ron1-1* and *old101* mutant plants to hormonal -induced stress has been observed in mutant seedlings comparison with the Ler-0 plants. RON1 enzyme activity has gone in *ron1-1* plants, which causes PAP accumulation and possibly IP3 in mutant, changing the morphological characteristics associated with the mutant seedlings.

Key words: *Arabidopsis*, ACC, ABA, IAA, hormones Stress, *RON1/FRY1*